

MINISTÉRIO DE EDUCAÇÃO
UNIVERSIDADE FEDERAL DO RIO GRANDE DO SUL
INSTITUTO DE PESQUISAS HIDRÁULICAS

Pierre Chevallier

**AS PRECIPITAÇÕES NA REGIÃO DE
CRUZ ALTA E IJUÍ - RS - BRASIL**

RECURSOS HÍDRICOS
PUBLAÇÃO **24**

UNIVERSIDADE FEDERAL DO RIO GRANDE DO SUL

Reitor:

Tuiskon Dick

Pró-Reitor de Administração:

José Serafim Gomes Franco

Pró-Reitor da Comunidade Universitária:

Fernando Irajá Félix de Carvalho

Pró-Reitor de Extensão:

Waldomiro Carlos Manfroi

Pró-Reitor de Graduação:

Darcy Dillenburg

Pró-Reitor de Pesquisa e Pós-Graduação:

Abílio Afonso Baeta Neves

Pró-Reitor de Planejamento:

Edemundo da Rocha Vieira

Instituto de Pesquisas Hidráulicas

Diretor:

Marcos I. Leão

Vice-Diretor:

Lawson F. de Souza Beltrame

Programa de Pós-Graduação em Engenharia de Recursos Hídricos e Saneamento

R. Dorfman - Coordenador

C. E. Tucci

L. E. de Almeida

M. P. Bordas

S. J. de Luca

Recursos Hídricos - Publicação

1. A.E. Lanna (1981): Optimal weekly releases from multireservoir system.
2. S.J. de Luca (1981): Removal of organic compounds by oxidation-coagulation with potassium ferrate.
3. C.E. Tucci, J. Sanchez e M. Simões Lopes (1982): Modelo matemático precipitação-vazão IPH II.
4. A.E. Lanna (1982): Operação estratégica de reservatórios para suprimento hídrico e controle de cheias.
5. G.L. da Silveira, A.L. Lanna e A.F. Maurer (1983): Sistema de processamento de dados em microcomputador para estudos de regionalização.
6. J.C. Motta Jr. e C.E. Tucci (1983): Avaliação do efeito da urbanização no escoamento através de modelo hidrológico.
7. N. Luna Caicedo (1983): Identification of aquifer parameters using transient observation and the discrete Kernel approach.
8. J. Sanchez e M.S. (1984): Regionalização de hidrogramas unitários para bacias urbanas do sul do Brasil.
9. L.E. de Almeida (1984): L'action de la houle sur les sables dans la zone du déferlement: exemple pour la côte aquitaine.
10. M.P. Bordas e A.E. Lanna (1984): Problemas de utilização e controle dos recursos hídricos do Brasil.
11. H.X. Corseuil e S.J. de Luca (1985): Cartão ativado: Uma nova tecnologia no tratamento da drenagem ácida de minas de carvão.
12. A.B. Casalas (1985): Modelo matemático de correntologia do estuário do Rio Guasba.
13. J.C. Strauch e N. Luna Caicedo (1985): Modelo Numérico da onda cinemática para a fase de avanço da irrigação superficial em uma faixa de terra inclinada.
14. C.E. Tucci e R.L. da Silveira (1985): Análise de consistência de dados fluviométricos.
15. J.A. Louzada, N. Luna Caicedo e F.A. Cauduro (1986): Modelos matemáticos aplicados à drenagem subsuperficial das várzeas do Rio Grande do Sul.
16. R. Dorfman (1986): Planning of irrigation systems under conditions of scarce data.
17. A.E. Lanna (1987): Técnicas recursivas dos mínimos quadrados: aplicação a previsões hidrológicas.
18. C.E. Tucci e A.S.J. Krebs (1987): Zoneamento de áreas inundáveis.
19. A.M. Awruch (1988): As equações de dinâmica dos fluidos em coordenadas curvilíneas generalizadas.
20. C.E. Tucci, E. Zamanillo e H.D. Pasinato (1989): Sistema de simulação precipitação-vazão IPHSI.
21. A.E. Lanna e M. Schwarzbach (1989): MODHAC - Modelo hidrológico auto-calibrável.

Instituto de Pesquisas Hídricas
Universidade Federal do Rio Grande do Sul
Porto Alegre - Brasil

**As precipitações na região de
Cruz Alta e Ijui
RS - Brasil**

Pierre Chevallier

com a colaboração de :
Nilza M. Castro

Agosto de 1990
revisado em setembro de 1991

Resumo

Após apresentar as causas mais importantes de precipitações na região de Cruz Alta e Ijui, o autor propõe uma análise da pluviometria regional crítica utilizando o Método do Vetor Regional (Hiez, 1977). As principais características estatísticas das pluviometrias anuais, mensais e diárias são estabelecidas a partir de três postos com mais de 35 anos de observação. A seguir, é realizada uma análise mais detalhada dos eventos chuvosos, baseada nos registros pluviográficos do posto de Ijui (24 anos de observação), estabelecendo-se a relação intensidade-duração-frequência, e um estudo da forma e da ocorrência dos eventos chuvosos tomados individualmente.

Abstract

Precipitation in the region of Cruz Alta and Ijui (Rio Grande do Sul - Brazil)

After presenting the main causes of precipitation in the region of Cruz Alta and Ijui, the author proposes a critical analysis of regional rainfall measurements using the Regional Vector Method (Hiez, 1977). The main statistical characteristics of annual, monthly and daily rainfall are established based on three stations with over 35 years of record. Next a fine analysis of the rainy events is performed, based on the raingauging records of Ijui station (24 years of observation), proposing a table of intensity-duration-frequency statistics, and a study of the shape and occurrence of individual showers.

Résumé

Les précipitations dans la région de Cruz Alta et Ijui (Rio Grande do Sul - Brésil)

Après avoir présenté les grandes causes des précipitations dans la région de Cruz Alta et Ijui, l'auteur propose une analyse de la pluviométrie régionale critiquée à travers la Méthode du Vecteur Régional (Hiez, 1977). Les principales caractéristiques statistiques des pluviométries annuelles, mensuelles et journalières sont établies à partir de trois postes disposant de plus de 35 années d'observation. Ensuite une analyse plus fine des averses est réalisée sur les enregistrements pluviographiques du poste d'Ijui (24 années d'observation), proposant le tableau des statistiques intensité - durée - fréquence, et une étude de la forme et de l'occurrence des averses prises individuellement.

Introdução

O Instituto de Pesquisas Hidráulicas da Universidade Federal do Rio Grande do Sul iniciou um trabalho de pesquisa, junto com o ORSTOM (Instituto Francês de Pesquisa Científica para o Desenvolvimento em Cooperação), no âmbito de um acordo com o CNPq. O objetivo desse trabalho de pesquisa é estudar os comportamentos hidro-sedimentológicos no planalto basáltico do Sul do Brasil, em relação à ocupação agrícola dos solos (cultura intensiva de trigo e soja). Diversas ferramentas são consideradas para esta abordagem, tais como a simulação de chuva, a cartografia por sensoriamento remoto a partir de satélites, a análise geomorfológica através de modelos numéricos do terreno ou a modelação matemática chuva-vazão-descarga sólida.

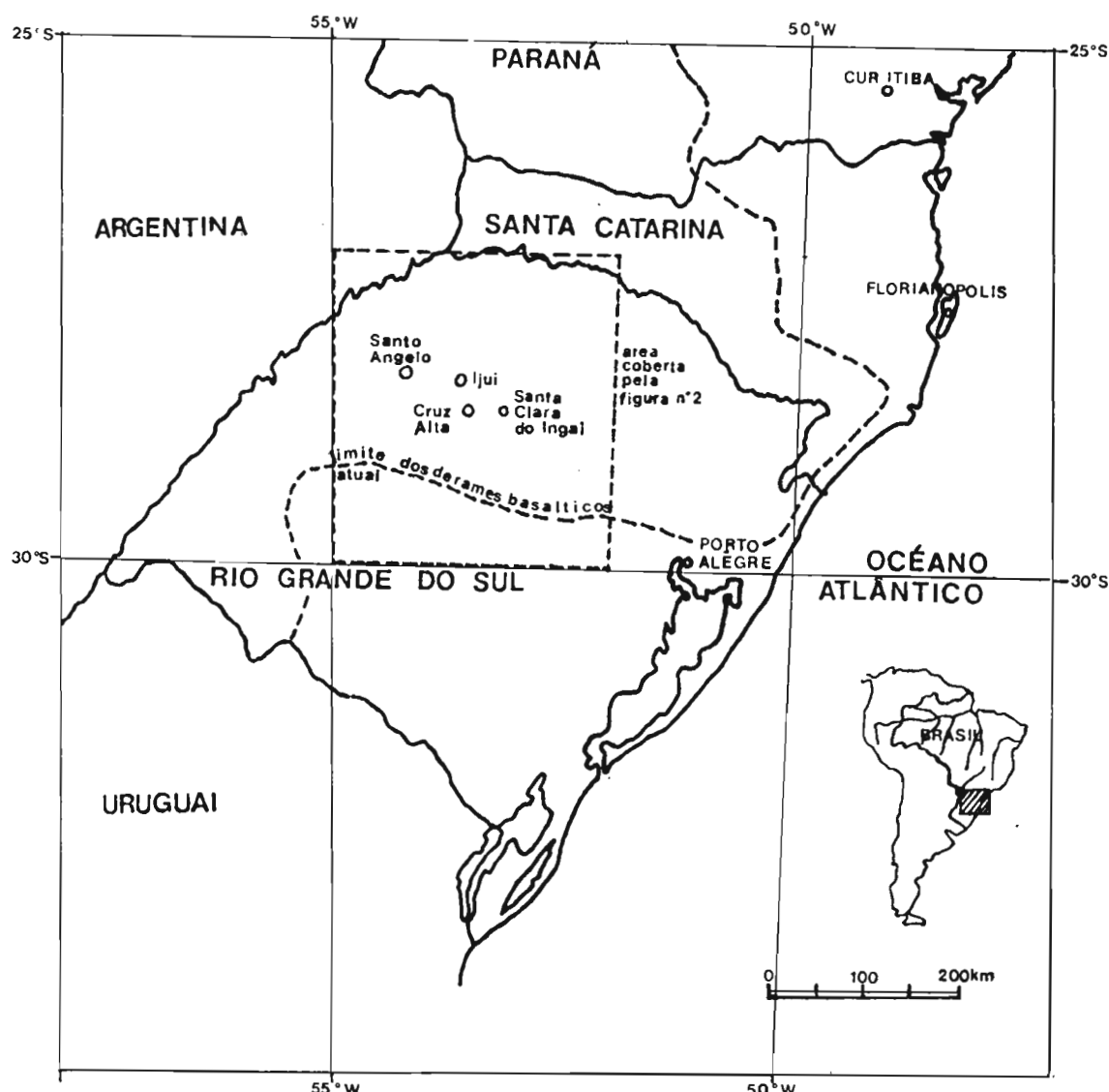


Figura 1 : Região de Cruz Alta e Ijuí. Mapa de localização

Este estudo, que trata do conjunto da região do planalto basáltico, é baseado em uma zona geográfica considerada representativa, e reconhecida como o resultado de uma abordagem metodológica sistemática (Borges e Bordas, 1988). A entidade escolhida é a bacia hidrográfica do rio Potiribu em Andorinhas (figura 1), cujo centro geográfico é constituído pelo município de Pejuçara, a uma distância mais ou menos igual dos centros populacionais importantes de Cruz Alta, Ijui e Panambi (Rio Grande do Sul).

Antes de qualquer pesquisa sofisticada, é necessário avaliar os principais elementos regionais (clima, geologia, ocupação humana...). Neste primeiro trabalho, tratamos de analisar a parte da climatologia, referente às precipitações, principal elemento de entrada no sistema hidrodinâmico.

As causas

Nimer (1989) (também pode ser consultado IBGE, 1986), define o clima da Região Sul do Brasil (abrangendo os Estados do Paraná, Santa Catarina e Rio Grande do Sul), como um clima mesotérmico do tipo temperado, caracterizado por sua homogeneidade e por sua unidade regional.

Esta região é limitada a leste pelo Oceano Atlântico, e o seu relêvo relativamente elevado (que pode alcançar 1500 m) apresenta formas de planaltos simples. Situada ao sul do Trópico de Capricórnio, possui quatro estações bem marcadas, relacionadas à variação da altitude do sol no seu zenite durante o ano. A temperatura do ar acompanha essa variação sazonal : pode alcançar valores próximos a 0°C no inverno, e máximos de verões tropicais que ultrapassam 35°C.

A Região Sul do Brasil é o local de confronto de diversas grandes massas de ar que, conforme seus movimentos, condicionam variações climáticas, e particularmente as precipitações :

- Os anticíclones subtropicais do Pacífico e do Atlântico Sul, que ficam localizados principalmente sobre o oceano a oeste e a leste do continente sul americano, são massas de ar tropicais marítimas de temperatura geralmente elevada ; esses anticíclones são particularmente estáveis.
- Os pequenos anticíclones tropicais, localizados na Amazônia, também quentes e úmidos, são muito móveis.
- O anticiclone polar, massa de ar frio e seco centrado sobre o sul do continente é proveniente da superfície gelada do continente antártico.
- A depressão do Chaco, centrada nas planícies no norte da Argentina e do Paraguai, ao sopé da Cordilheira dos Andes é extremamente móvel e pouco úmida. Essencial para o clima do sudeste do Brasil (Rio de Janeiro, São Paulo), apenas apresenta importância para o sul por ocasião de verões secos.

Distinguem-se principalmente duas grandes formas de circulação atmosférica que interessam à região em estudo :

- As mais importante de todas, as correntes perturbadoras do sul, são representadas pela invasão do anticiclone polar e por sua descontinuidade frontal ao contato com o anticiclone do Atlântico Sul, denominado frente polar. Ativa o ano inteiro, mas mais forte no inverno, essa passagem da frente polar, acompanhada de eventos chuvosos, é muito regular, com uma periodicidade compreendida entre quatro e dez dias sobre o Rio Grande do Sul. A passagem da frente é acompanhada de eventos chuvosos, geralmente longos e de intensidades moderadas (chuvas frontais), passíveis de se instalarem durante alguns dias consecutivos. Ao norte, choça-se com a depressão do Chaco, onde se dissipam. Por ocasião dos verões quentes, a sua energia é reduzida e a depressão do Chaco pode atingir os limites da nossa região, iniciando então um tempo seco.
- As correntes perturbadoras do oeste são representadas pelas linhas de instabilidades tropicais que entram na Região Sul de meados da primavera até meados do outono. Trata-se de depressões barométricas induzidas pelos pequenos anticíclones tropicais da Amazônia. O forte aquecimento do interior do continente, no verão, certamente é a principal causa disso. Essas correntes provocam chuvas e tempestades convectivas, em geral de grande intensidade e curta duração. Apenas excepcionalmente afetam a nossa zona de estudo.

Este sistema de circulação atmosférica, juntamente com um relêvo regional de planalto e planícies de formas relativamente atenuadas, faz com que esta região em estudo seja geralmente bem irrigada. E, ainda por causa dessa circulação atmosférica privilegiada, a propriedade mais notável do regime local de precipitações é a distribuição praticamente uniforme dos eventos chuvosos através do ano, como veremos a analisarmos as observações.

Análise regional

Homogeneização

Antes de qualquer trabalho sobre dados regionalizados de pluviometria, é necessário controlar a sua qualidade, e possivelmente corrigi-los. Os dados disponíveis provêm, de fato, de bancos de dados formados a partir de observações pontuais durante um período mais ou menos prolongado. Pela própria natureza dessa pontualidade, esses dados são marcados com erros devidos a causas diversas que, em escala regional, geram uma heterogeneidade das observações entre elas (Hiez, 1977). Faz-se necessária uma crítica severa dos dados para harmonizar as observações de uma mesma região submetida às mesmas tendências climáticas.

Este trabalho de homogeneização é geralmente realizado, inicialmente, sobre séries de totais pluviométricos anuais, representando as grandes evoluções climáticas, independentes de fenômenos sazonais. Hiez (1977) propôs uma ferramenta de análise potente denominada *Método do Vetor Regional*, recente adaptada a uma aplicação prática com um microcomputador (Cochonneau et al., 1989).

Na região de Cruz Alta e Ijui, os dados pluviométricos provêm de cinco fontes diferentes :

- DNAEE, *Departamento Nacional de Águas e Energia Elétrica* ;
- INMET, *Instituto Nacional de Meteorologia do Ministério da Agricultura* ;
- CEEE, *Companhia Estadual de Energia Elétrica do Rio Grande do Sul* ;
- IPAGRO, *Instituto de Pesquisas Agronômicas do RS*.
- DEPRC, *Departamento Estadual de Portos, Rios e Canais do RS*.

Estes dados, contudos, são centralizados (com maior ou menor atraso) no banco de dados do DNAEE, onde estão acessíveis ao usuário (DNAEE, 1987).

Para o nosso estudo, o vetor regional foi aplicado a 143 postos pertencentes ao nove graus quadrados (entre 27°S e 30°S e entre 52°O e 55°O) centrados na zona de estudo com um tamanho mínimo de 8 anos de observação. Encontra-se em anexo um levantamento completo desses postos. A pluviometria anual foi estimada com auxílio do vetor regional para o período de 1945-1985. Quatro postos (Soledade, Giruá, Erebango e São Miguel das Missões) foram eliminados pelo vetor por terem dados de qualidade excessivamente dubia.

Na figura 2 é apresentado o mapa de isoetas obtido com uma equidistância das curvas de 100 mm. As coordenadas são do tipo Lambert, em quilometragem correspondente aos mapas oficiais do sul do Brasil. As isoetas são estabelecidas através de um método de *kriegagem* sobre uma grade regular de 5 km de resolução e são ligeiramente filtradas.

Este mapa evidentemente não leva em conta apenas dados pluviométricos obtidos a partir dos postos de observação, independente da situação específica de cada posto (localização, exposição, altura da vegetação ou dos predios vizinhos, relevo próximo, etc...). Nesta região de relevo acentuado, mas de pequena amplitude, a influência desta situação pode ser importante, e explicar os pontos singulares que aparecem no mapa. Este resultado pode ser comparado àqueles obtidos por Crespo (1982), IBGE (1986) e IPAGRO (1989). São encontradas quase as mesmas tendências, embora a resolução dos três mapas seja muito mais grossa (em especial aquelas do IBGE e do IPAGRO). A zona de interesse aparece no centro da figura a leste de Ijui e a norte de Cruz Alta. Observa-se uma pluviometria média da ordem de 1 700 mm.

Para uma abordagem estatística regional, preferimos escolher postos cuja duração de observação seja a mais longa possível, e cujos dados são considerados bons segundo o vetor regional. Além disso é necessário que esses postos enquadrem bem a bacia do Potiribu. Foram portanto escolhidos os postos de :

- Santo Angelo, a oeste ;
- Cruz Alta, ao sul ;
- Santa Clara do Ingai, a leste.

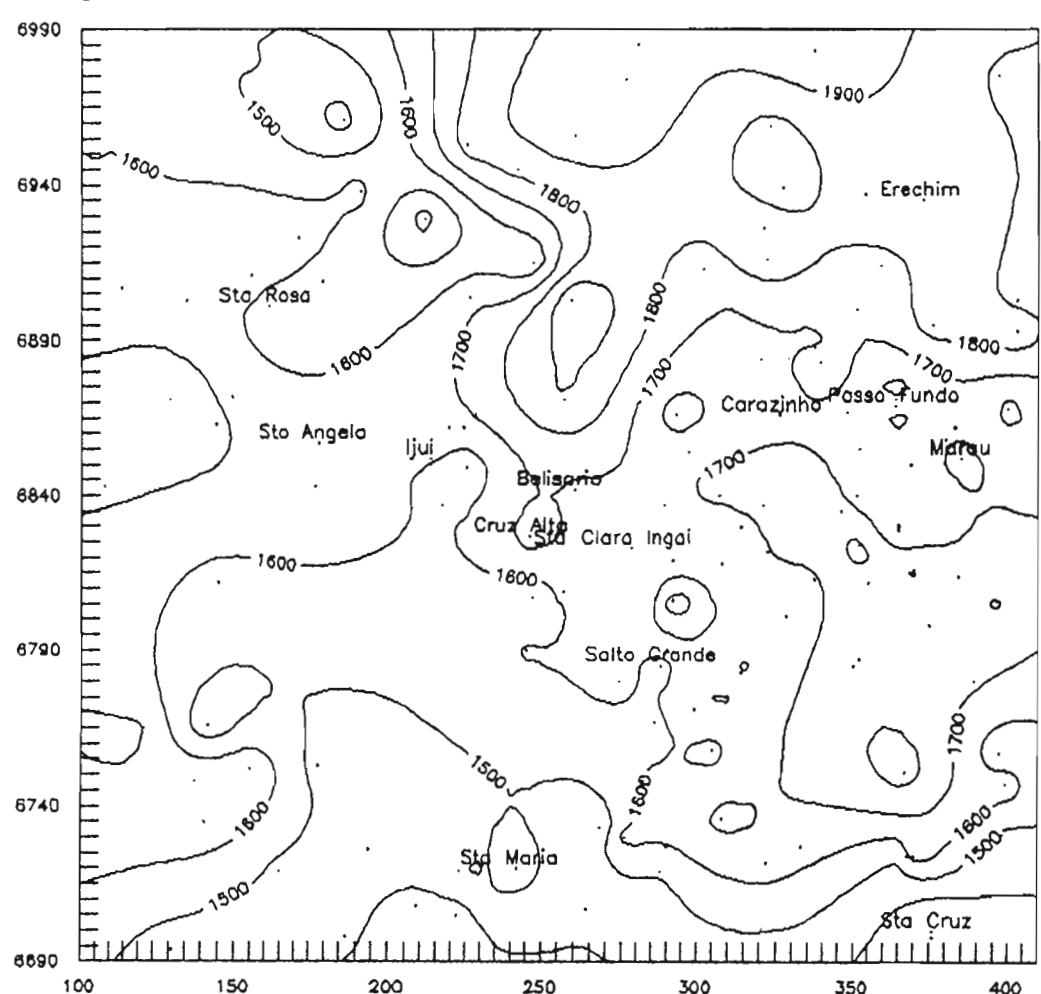


Figura 2 : Região de Cruz Alta e Ijuí. Mapa de isoetas

As coordenadas são em km Lambert (referência : mapa 1/250 000 Cruz Alta). Os limites do mapa correspondem aproximadamente a 27/30 graus sul - 52/55 graus oeste.

Os dados desses três postos foram usados na sua totalidade, inclusive aqueles anteriores a 1945, que não haviam sido empregados para o cálculo do vetor. Esta opção apresenta a vantagem de permitir o trabalho com amostras mais longas de chuvas diárias e mensais. Ver-se-à que ela é confirmada pela boa adequação ao conjunto dos resultados obtidos.

Pluviometria anual e mensal

Nas análises estatísticas realizadas a seguir, buscou-se a melhor distribuição entre uma dezena (Lebel e Boyer, 1989) para a amostra de dados disponíveis utilizando seja um teste de χ^2 , seja o proposto por Brunet Moret (1978).

No caso das chuvas anuais foi mantida uma distribuição normal para o posto de Santo Ângelo (45 valores anuais), e uma distribuição chamada *das fugas* (*Loi des Fuites*, Ribstein, 1983) para os dois outros postos (31 valores em Cruz Alta e 40 valores em Santa Clara do Ingai). As figuras 3, 4 e 5 representam estas distribuições.

A tabela 1 apresenta alguns valores de precipitação anual para diversos períodos de retorno nas situações secas e úmidas destes distribuições.

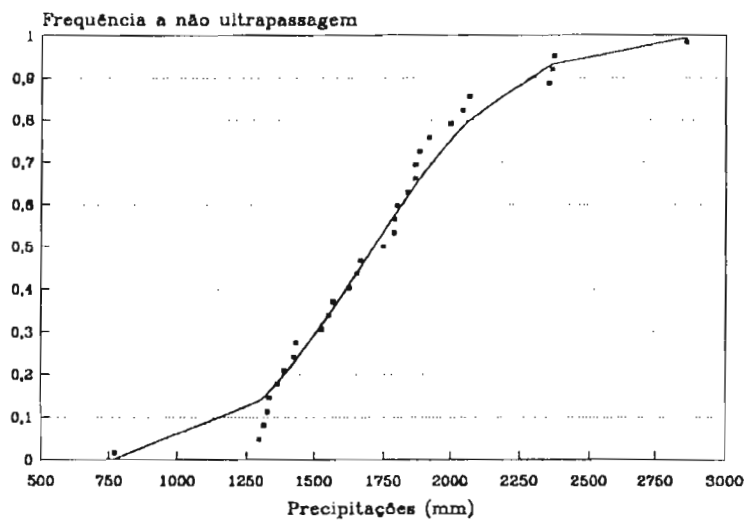


Figura 3 : Cruz Alta RS. Pluviometria anual. Ajustamente a uma lei de fugas

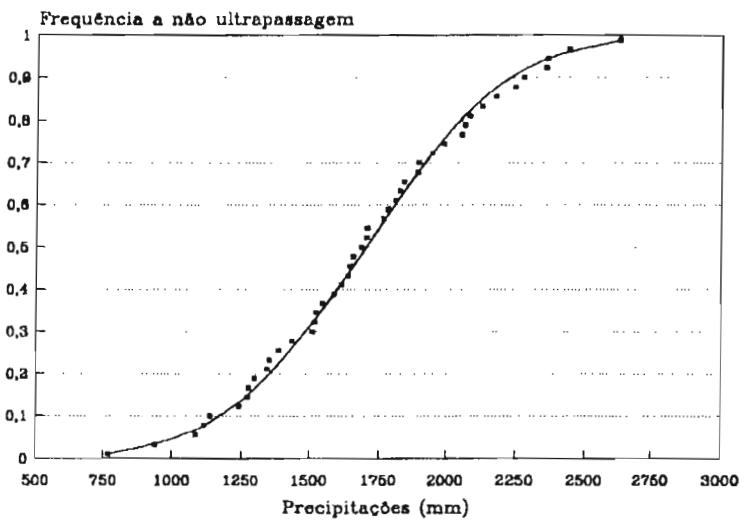


Figura 4. Santo Angelo RS. Pluviometria anual. Ajustamente a uma lei normal

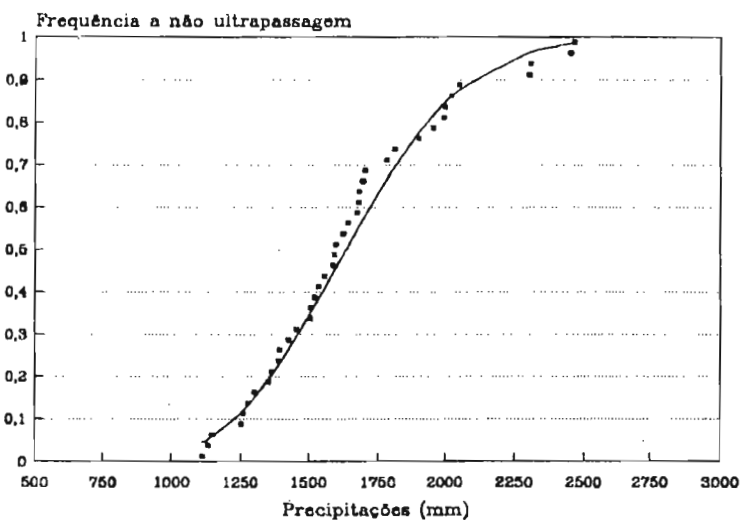


Figura 5. Santa Clara do Ingai RS. Pluviometria anual. Ajustamente a uma lei de fugas

Tabela 1 : Pluviometria anual (em mm)

recorrência (anos)	Cruz Alta	Santo Angelo	Santa Clara Ingai
secos	100	902,4	745,1
	50	983,9	857,1
	20	1112,8	1025,1
	10	1234,0	1174,4
	5	1389,0	1355,2
média	2	1710,8	1701,0
	5	2065,9	2046,9
	10	2264,8	2227,7
	20	2436,1	2376,9
	50	2635,9	2545,0
úmidos	100	2774,1	2657,0

A similitude entre os três postos é notável, talvez com valores de estiagem um pouco mais acentuados em Santo Angelo (mas esse posto possui uma série de observações um pouco mais longa do que os outros).

Para completar as informações, foram representados nas figuras 6, 7 e 8 os desvios da média dos valores observados para cada um dos três postos. Observa-se no período recente :

- anos nitidamente chuvosos : 1961, 1972 e 1983 ;
- anos nitidamente secos : 1945 e 1962.

De modo geral os períodos de 1934-1941 e 1982-1985 foram mais úmidos, enquanto que, inversamente, o período de 1945-1952 é mais seco.

A análise estatística mensal das chuvas, nos três postos escolhidos, resulta do mesmo método que aquele da análise anual. Sob uma ótica simplificadora, mantivemos uma distribuição única, a distribuição das *fugas*, que convém na maioria dos casos. Pode ocorrer, para certos meses, que uma distribuição de Pearson 3 ou de Gumbel dê melhores valores de teste, mas a diferença é mínima. A tabela 2 dá o tamanho das amostras disponíveis para cada posto e cada mês, e a tabela 3 os valores teóricos obtidos para diversos períodos de retorno (figuras 9, 10 e 11).

Tabela 2 : Tamanho (anos) das amostras estatísticas mensais

Posto	Jan	Fev	Mar	Abr	Mai	Jun	Jul	Ago	Sep	Out	Nov	Dez
Cruz Alta	35	35	36	35	34	35	35	35	36	35	35	36
Santo Angelo	52	50	52	52	51	53	53	51	51	52	53	53
Sta Clara do Ingai	43	42	42	41	42	42	42	42	43	43	43	43

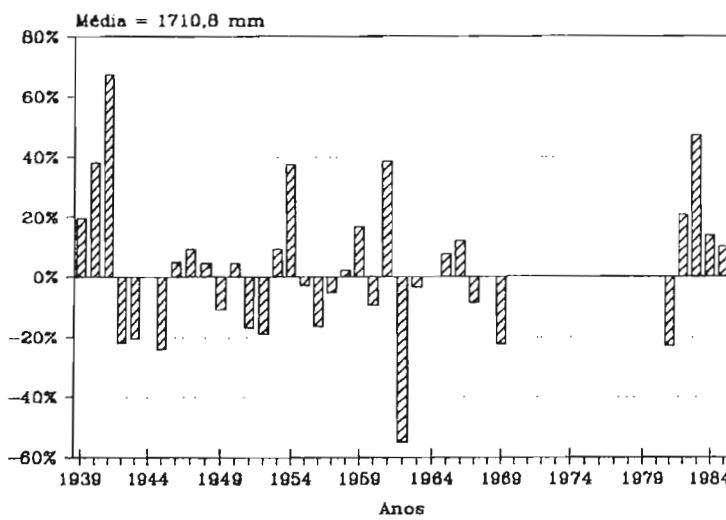


Figura 6 : Cruz Alta RS. Pluviometria anual. Desvio da média.

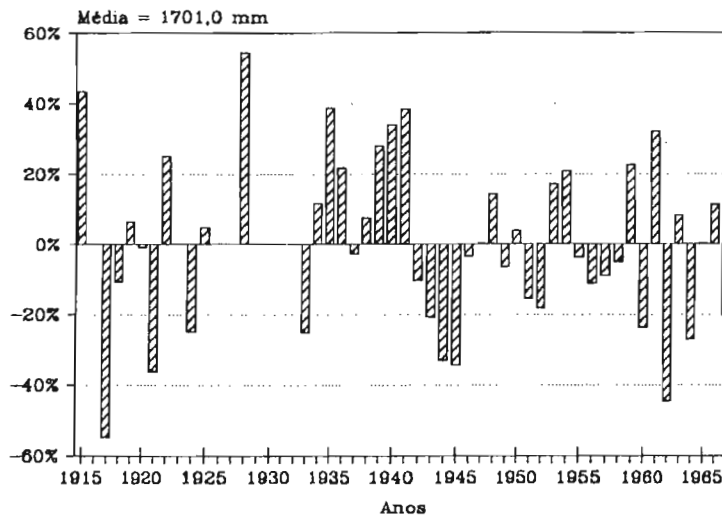


Figura 7 : Santo Angelo RS. Pluviometria anual. Desvio da média.

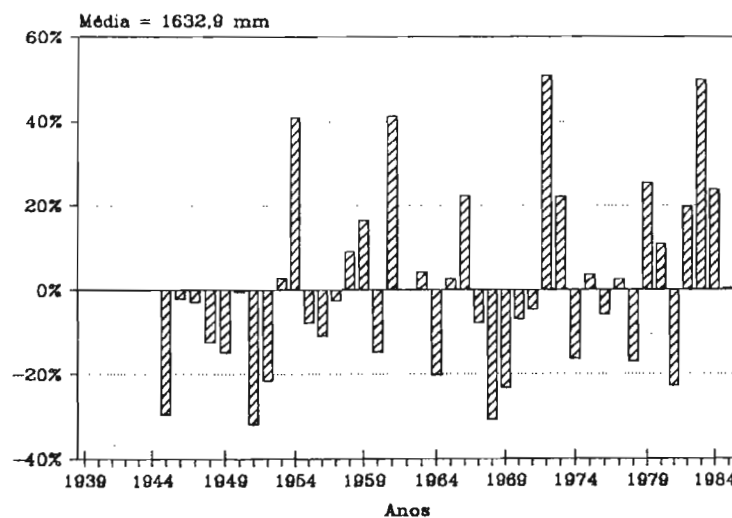


Figura 8 : Santa Clara do Ingai RS. Pluviometria anual. Desvio da média.

Tabela 3 : Pluviometria mensal (em mm)

mês	posto	recorrências secas (anos)					media			recorrências úmidas (anos)			
		100	50	20	10	5	2	5	10	20	50	100	
Jan	Cruz Alta	6.1	13,0	26,7	42,5	66,0	124,3	200,1	246,7	288,8	340,0	376,3	
	Santo Angelo	4,9	11,7	25,8	42,1	66,7	128,4	209,0	258,7	303,7	358,4	397,5	
	Santa Clara	5,3	12,4	26,8	43,5	68,5	131,2	213,0	263,4	308,9	364,4	404,0	
Fev	Cruz Alta	15,7	23,1	36,5	50,8	71,1	119,1	179,0	215,1	247,3	286,3	313,8	
	Santo Angelo	7,9	14,7	27,8	42,7	64,5	118,0	186,9	229,0	266,9	313,0	345,7	
	Santa Clara	12,8	19,8	32,8	46,8	67,0	115,0	175,5	212,1	244,9	284,6	312,6	
Mar	Cruz Alta	32,8	41,0	55,0	69,2	88,3	131,5	183,0	213,3	240,0	271,9	294,2	
	Santo Angelo	7,0	13,5	26,4	40,9	62,4	115,5	184,0	225,9	263,8	309,8	342,4	
	Santa Clara	14,6	21,6	34,5	48,3	68,0	114,7	173,1	208,3	239,8	277,8	304,7	
Abr	Cruz Alta	0,0	0,0	4,0	18,0	42,0	109,8	206,4	268,2	325,1	395,4	446,2	
	Santo Angelo	0,0	2,9	16,8	34,4	62,6	137,1	238,4	301,9	359,8	430,9	482,0	
	Santa Clara	0,0	1,2	11,8	25,5	47,6	106,5	187,2	237,9	284,2	341,1	382,0	
Mai	Cruz Alta	2,3	8,4	21,6	37,4	61,5	122,8	203,9	254,2	299,7	355,5	395,1	
	Santo Angelo	7,5	15,2	30,7	48,4	74,7	139,8	224,3	276,1	322,9	379,8	420,3	
	Santa Clara	0,0	3,5	14,7	28,7	50,8	108,7	186,9	235,9	280,4	335,1	374,1	
Jun	Cruz Alta	19,5	28,4	44,5	61,6	85,9	143,1	214,5	257,3	295,6	341,9	374,5	
	Santo Angelo	9,3	17,1	32,3	49,4	74,6	136,4	216,0	264,5	308,3	361,5	399,3	
	Santa Clara	10,4	18,3	33,7	50,9	76,0	137,2	215,7	263,6	306,7	358,9	396,0	
Jul	Cruz Alta	12,7	19,5	32,2	45,9	65,7	112,7	172,0	207,8	239,9	278,7	306,1	
	Santo Angelo	11,3	18,3	31,5	46,1	67,1	117,8	182,1	221,1	256,2	298,6	328,8	
	Santa Clara	11,1	18,1	31,5	46,1	67,4	118,6	183,7	223,3	258,8	301,8	332,3	
Ago	Cruz Alta	11,7	19,5	34,5	50,9	74,9	132,9	206,7	251,6	291,9	340,8	375,6	
	Santo Angelo	9,6	16,6	30,0	44,9	66,6	119,5	187,1	228,3	265,3	310,3	342,1	
	Santa Clara	7,9	15,1	29,3	45,3	69,1	127,5	203,0	249,2	290,8	341,4	377,4	
Sep	Cruz Alta	22,2	31,9	49,5	68,1	94,5	156,6	233,8	280,1	321,4	371,3	406,6	
	Santo Angelo	19,0	28,8	47,0	66,6	94,6	161,3	245,1	295,7	340,9	395,7	434,3	
	Santa Clara	18,7	28,0	45,0	63,3	89,4	151,3	228,9	275,7	317,6	368,1	404,0	
Out	Cruz Alta	21,4	31,4	49,7	69,2	97,0	162,6	244,6	293,9	338,0	391,3	428,9	
	Santo Angelo	14,8	24,7	43,6	64,4	94,6	167,7	260,9	317,5	368,3	430,0	473,8	
	Santa Clara	10,7	19,1	35,4	53,5	80,2	145,3	228,8	279,8	325,6	381,4	421,1	
Nov	Cruz Alta	0,0	3,7	15,7	30,7	54,5	116,6	200,6	253,2	301,0	359,7	401,6	
	Santo Angelo	1,0	6,4	18,0	32,1	53,9	109,8	184,2	230,4	272,4	323,7	360,4	
	Santa Clara	0,0	0,2	10,6	24,1	46,2	105,5	187,1	238,6	285,6	343,5	385,0	
Dez	Cruz Alta	5,8	13,0	27,6	44,4	69,7	132,7	214,8	265,4	311,0	366,6	406,2	
	Santo Angelo	4,8	11,4	24,9	40,6	64,2	123,2	200,3	247,8	290,7	343,0	380,3	
	Santa Clara	11,2	18,8	33,2	49,1	72,3	128,5	200,1	243,7	282,8	330,2	363,9	

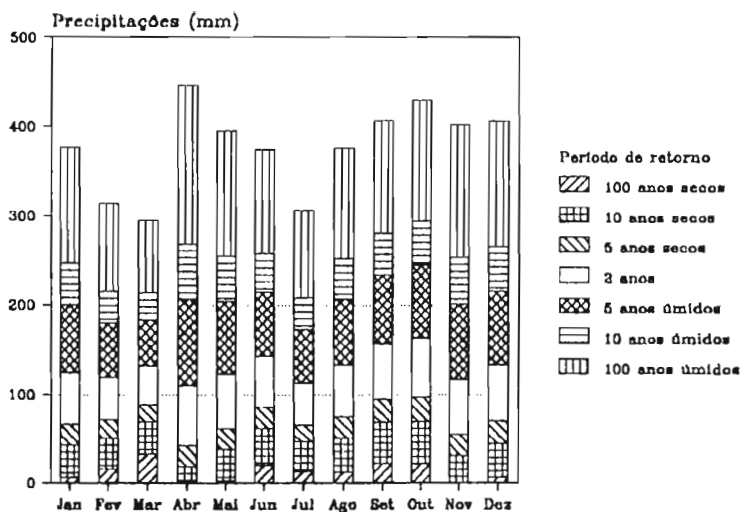


Figura 9 : Cruz Alta RS. Pluviometria mensal.

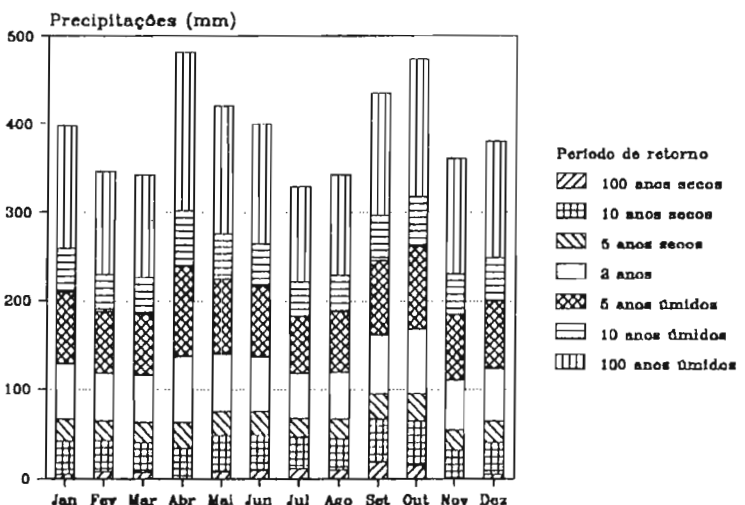


Figura 10 : Santo Angelo RS. Pluviometria mensal.

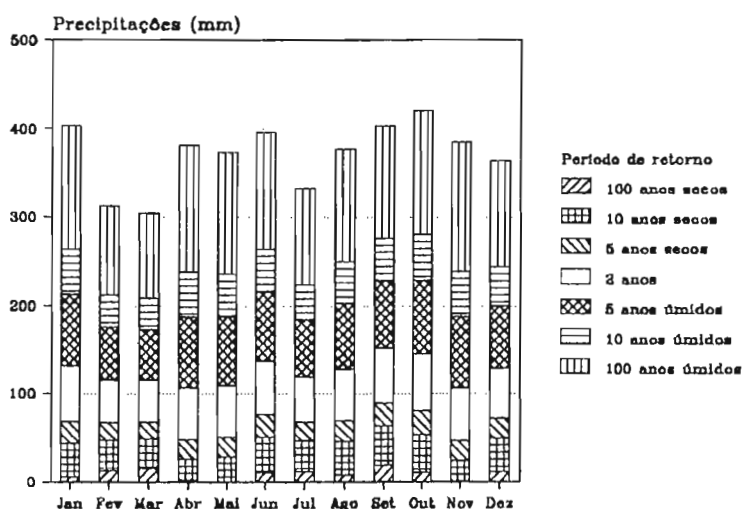


Figura 11 : Santa Clara do Ingai RS. Pluviometria mensal.

Observa-se a notável homogeneidade média da distribuição mensal das precipitações (da ordem de 120 mm) e o comportamento praticamente idêntico dos três postos.

Em um ano médio observa-se um volume de precipitações um pouco mais importante na primavera, durante os meses de setembro e outubro.

Curiosamente são os mesmos meses passíveis de apresentarem comportamento extremos opostos (maio-junho e outubro-novembro): uma seca total em período seco extremo e picos de precipitação superiores ou iguais a 400 mm em período extremo úmido.

Pluviometria diária

A análise dos dados de pluviometria diária nos três postos escolhidos também foi realizada segundo o mesmo princípio. Mas, por motivos de informática, não foi possível tratar amostras de mais de 500 valores. Os ajustes foram feitos em séries truncadas, eliminando os valores inferiores a uma base estabelecida. As distribuições de Goodrich são as que produzem os melhores resultados. Os valores obtidos após ajuste para períodos de retorno padrão estão na tabela 4, com as características das amostras tratadas. Os principais elementos podem ser encontrados na figura 12.

Tabela 4 : Pluviometrias diárias (em mm)

recorrência (anos)	Cruz Alta	Santo Angelo	Santa Clara do Ingai
1	88,9	85,3	87,1
2	101,8	98,4	99,8
3	109,1	106,3	107,3
5	118,3	116,0	116,4
10	130,5	129,2	128,8
20	142,6	142,9	141,1
50	158,3	160,8	156,9
100	169,1	174,3	168,5
duração observada acumulada.(anos)	37,44	53,25	42,67
número de dias de chuva > 0	5126	5040	3317
base de truncamento (mm)	36,5	45,0	39,5

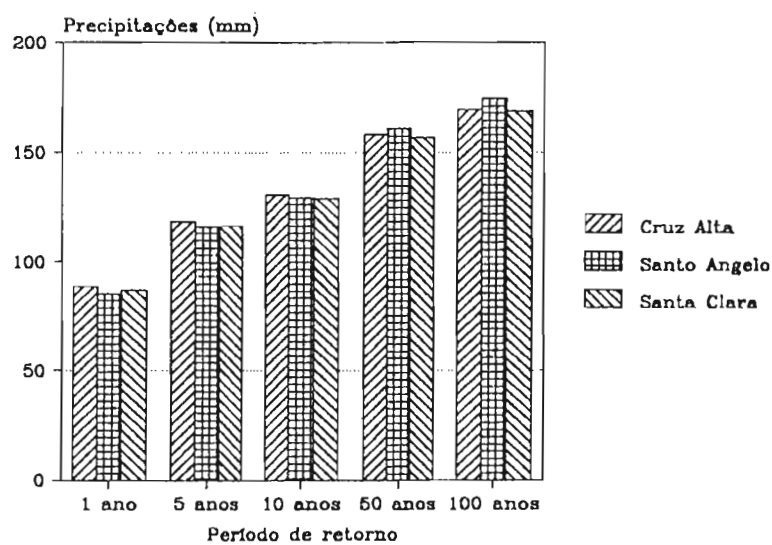


Figura 12 : Pluviometria diária

Mais uma vez são observados os resultados praticamente idênticos obtidos nos três postos. A proporção do número de dias de chuva não nula parece, contudo, bastante diferente de um posto para outro. Isto provavelmente se deve à observação dos fracos eventos chuvosos que nem sempre são registrados ou às vezes acumulados. Esses erros não intervêm sensivelmente nos valores diários importantes, nem nos totais mensais ou anuais.

Caractéristicas dos eventos chuvosos no posto de Ijui-Ipagro

A série pluviografica do posto Ijui-Ipagro está marcada por numerosas lacunas (devido ao mau functionamento ocasional do aparelho e, às vezes, à ausência de diagramas durante períodos prolongados).

A amostra final obtida, colocando ponta a ponta todos os períodos de observações, abrange uma duração de 21,73 anos entre 1963 e 1988. Teria sido interessante utilizar os resultados desse posto para o nosso estudo regional, mas o número de lacunas é excessivo para permitir esperar um resultado confiável.

Os eventos chuvosos foram individualizados utilizando um critério de separação muito amplo : intensidade inferior a 0,5 mm/h durante uma hora. Este critério foi escolhido para privilegiar o evento chuvoso completo e não dividi-lo em sub-eventos no caso em que comporte diversos picos de intensidade (corpo de evento chuvoso), separados por períodos mais ou menos longos de intensidades mais fracas (cauda). O número de eventos chuvosos superiores à 0,5 mm assim obtido foi de 3 522. São distribuidos da seguinte maneira :

Tabela 5 : Distribuição segundo tipo de eventos chuvosos no posto de Ijui-Ipagro

categorias de precipitação	número de eventos chuvosos	percentagem (%)
$P >= 100 \text{ mm}$	8	0,23
$90 <= P < 100 \text{ mm}$	4	0,11
$80 <= P < 90 \text{ mm}$	5	0,14
$70 <= P < 80 \text{ mm}$	6	0,17
$60 <= P < 70 \text{ mm}$	16	0,45
$50 <= P < 60 \text{ mm}$	29	0,82
$40 <= P < 50 \text{ mm}$	58	1,65
$30 <= P < 40 \text{ mm}$	102	2,90
$20 <= P < 30 \text{ mm}$	211	5,99
$10 <= P < 20 \text{ mm}$	434	12,32
$0,5 <= P < 10 \text{ mm}$	2647	75,16
total	3522	100,00

Intensidade, duração, frequência

Para cada um dos eventos chuvosos individualizados foram procuradas as intensidades máximas em 5, 10, 15, 30, 60, 90, 120 e 180 minutos para os eventos chuvosos cuja precipitação total é superior ou igual a 20 mm. Essas intensidades foram, a seguir, ajustadas sobre uma distribuição de Goodrich para estabelecer a tabela 6 das intensidades para as durações escolhidas e recorrências estatísticas compreendidas entre 1 e 50 anos. A figura 7 representa graficamente essas distribuições.

Tabela 6 : Intensidades em mm/h para durações e períodos de retorno fixados

recorrências em anos	em 5 min	em 10 min	em 15 min	em 30 min	em 1 hora	em 90 min	em 2 horas	em 3 horas
1	114,8	89,4	76,9	68,0	56,3	23,2	17,8	14,4
2	129,7	101,2	87,2	77,5	64,7	27,1	20,4	16,4
3	135,7	105,9	91,4	81,3	68,2	28,8	21,5	17,3
5	147,7	115,5	99,9	89,1	75,3	32,2	23,8	18,9
10	160,3	125,6	108,9	97,4	82,9	36,0	26,2	20,7
20	172,3	135,2	117,5	105,4	90,2	39,8	28,6	22,4
50	187,3	147,3	128,4	115,5	99,6	44,8	31,6	24,6

Observa-se que estas intensidades são relativamente moderadas em comparação àquilo que pode ser observado em climas com mais variações (tropical ou mediterrâneo por exemplo).

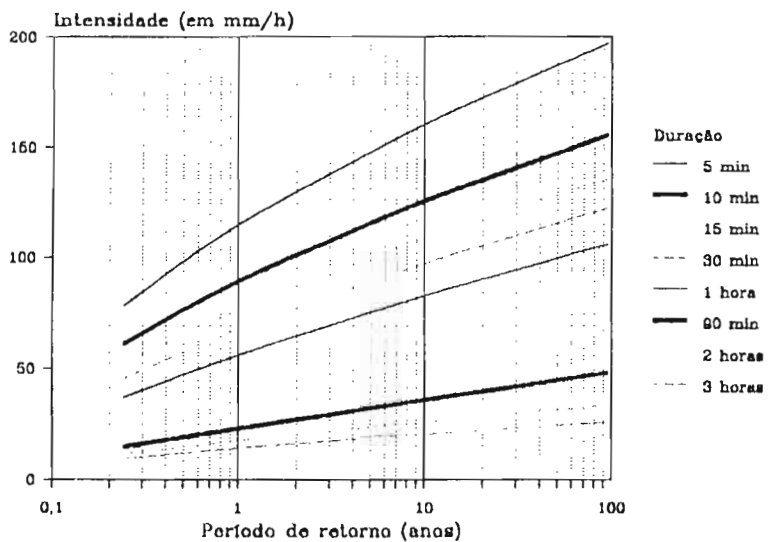


Figura 13 : Ijuí Ipagro RS. Curvas intensidade-duração-freqüência.

Forma dos eventos chuvosos

A forma dos eventos chuvosos foi estudada em uma amostra composta de todos os eventos chuvosos de altura superior ou igual a 20 mm, salvo os eventos chuvosos complexos de picos múltiplos (Estèves, 1990). Cada um dos 310 eventos chuvosos da amostra foi discretizado em intervalos de 10 minutos, centrados sobre a ponta máxima de intensidade. A partir da tabela assim constituída são estabelecidos 6 hietogramas médios levando em conta :

- todos os eventos chuvosos ;
- os eventos chuvosos cuja precipitação é superior a 50 mm ;
- os eventos chuvosos de verão (16 de dezembro a 15 de março) ;
- os eventos chuvosos de outono (16 de março a 15 de junho) ;
- os eventos chuvosos de inverno (16 de junho a 15 de setembro) ;
- os eventos chuvosos de primavera (16 de setembro a 15 de dezembro).

Na tabela 7 são apresentadas as intensidades médias em 10 minutos para cada uma das fatias do período compreendido entre -75 e 125 minutos. A figura 14 apresenta a forma dos eventos chuvosos para estas diferentes hipóteses. A tabela 8 apresenta, para as mesmas séries, a duração média dos eventos chuvosos, bem como as durações antes e após o pico de intensidade.

Tabela 7 : hietogramas médios centrados - intensidades por categorias de 10 minutos (mm/h)

fatias de 10 minutos	-70	-60	-50	-40	-30	-20	-10	0	10	20	30	40	50	60	70	80	90	100	110	120
média	1	2	2	3	4	5	10	52	18	11	8	7	6	5	5	4	4	3	3	3
P >= 50 mm	6	5	5	6	10	10	19	84	38	30	19	14	10	6	6	7	9	7	7	10
verão	2	2	2	3	4	5	10	62	24	13	9	8	7	5	5	3	3	3	3	3
outono	1	2	2	4	4	5	12	45	15	10	8	6	6	5	5	5	4	3	2	2
inverno	0	2	2	2	3	4	7	41	9	7	7	8	6	6	4	4	4	2	3	3
primavera	1	2	2	3	4	4	10	53	20	14	9	6	5	4	5	5	4	3	3	3

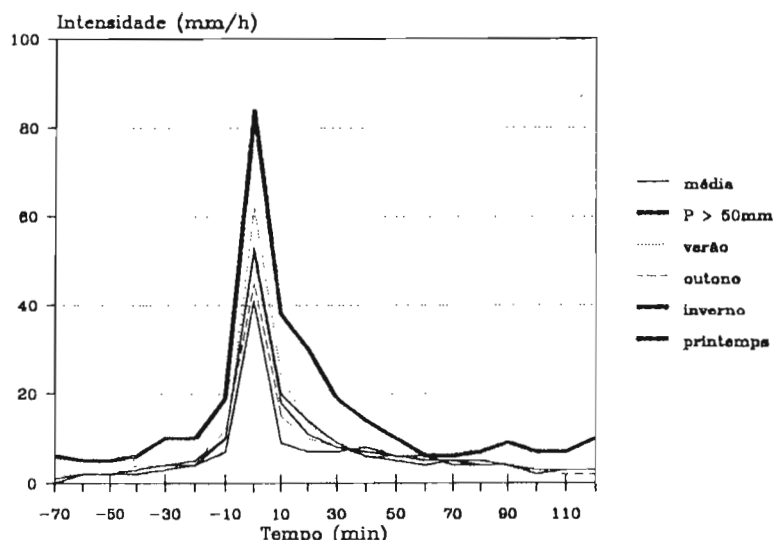


Figura 14 : Ijui Ipagro RS. Forma média dos eventos chuvosos.

Tabela 8 : hietogramas médios centrados - durações totais, anteriores e posteriores ao pico (min)

	duração total	antes o pico		após o pico	
		valor	%	valor	%
média	215	50	(23%)	165	(77%)
P >= 50 mm	259	54	(21%)	204	(79%)
verão	190	38	(20%)	152	(80%)
outono	234	64	(27%)	170	(73%)
inverno	239	58	(24%)	201	(76%)
primavera	213	50	(24%)	163	(76%)

Examinando estas duas tabelas e o gráfico podem ser formulados os seguintes comentários :

- A forma média dos eventos chuvosos é praticamente idêntica nas amostras analisadas. O pico de intensidade, em todos os casos, fica situado aproximadamente no primeiro quarto do hietograma.
- Os eventos chuvosos que apresentam o volume de precipitação mais importante ($P \geq 50 \text{ mm}$) têm uma duração um pouco maior do que a média (+ 20%), mas, sobretudo, apresentam intensidades máximas muito superiores (+ 62% em 10 minutos, + 76% em 30 minutos).
- Observa-se, finalmente, que na primavera e no verão os eventos chuvosos são em média mais curtos e mais intensos do que no outono e no inverno ; mas as diferenças continuam pequenas (10% para a duração, 10% a 20% para a intensidade).

Ocorrência diária dos eventos chuvosos

Para avaliar a ocorrência diária dos eventos chuvosos foi utilizada a amostra completa dos eventos chuvosos superiores a 0,5 mm. A partir dessa amostra tentamos avaliar o número de eventos chuvosos que poderiam ocorrer no mesmo dia, em função da classe de altura total do evento chuvoso e da estação do ano.

Uma análise preliminar mostrou que os eventos chuvosos ocorriam com uma leve preferência pelas horas diurnas (de 6 a 18 horas), em uma proporção de 56% contra 44% para as horas noturnas (de 18 a 6 horas). Na amostra de trabalho foram contados até 8 eventos chuvosos no decorrer de um mesmo dia (entre 0 e 24 horas). Esse número cotidiano de eventos chuvosos foi relacionado a dois fatores :

- precipitação total diária (tabela 9 e figura 15) ;
- período, sendo o ano dividido em 6 períodos de dois meses (tabela 10 e figura 16)

Tabela 9 : Número de eventos chuvosos por dia, função da precipitação diária (% de ocorrência)

número de eventos chuvosos	0,5-10	10-20	20-30	30-40	40-50	> 50	total
1	72,6%	44,8%	41,0%	31,7%	44,0%	30,9%	58,5%
2	21,2%	36,0%	36,1%	34,1%	26,2%	30,9%	26,9%
3	4,9%	11,3%	16,5%	19,0%	17,9%	25,2%	9,7%
4	1,0%	5,0%	4,8%	11,9%	10,7%	8,1%	3,8%
>= 5	0,3%	2,5%	1,6%	3,2%	1,2%	4,8%	1,3%

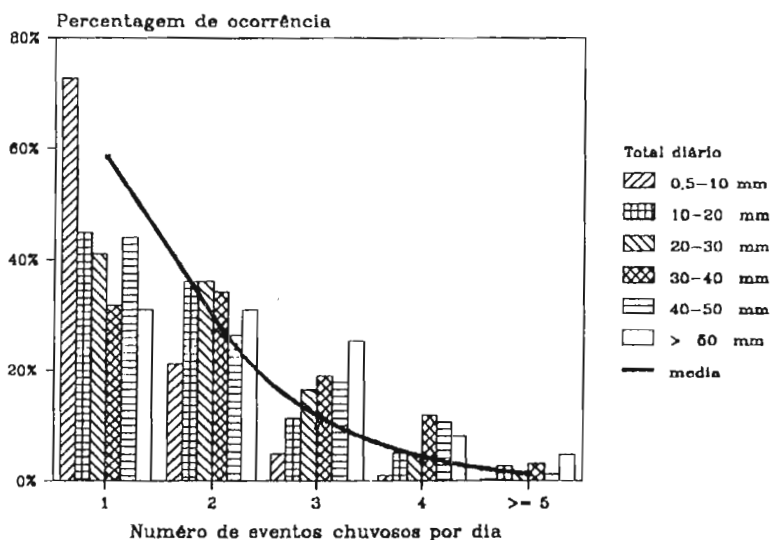


Figura 15 : Ijuí Ipagro RS. Número de eventos chuvosos por dia, função da precipitação diária.

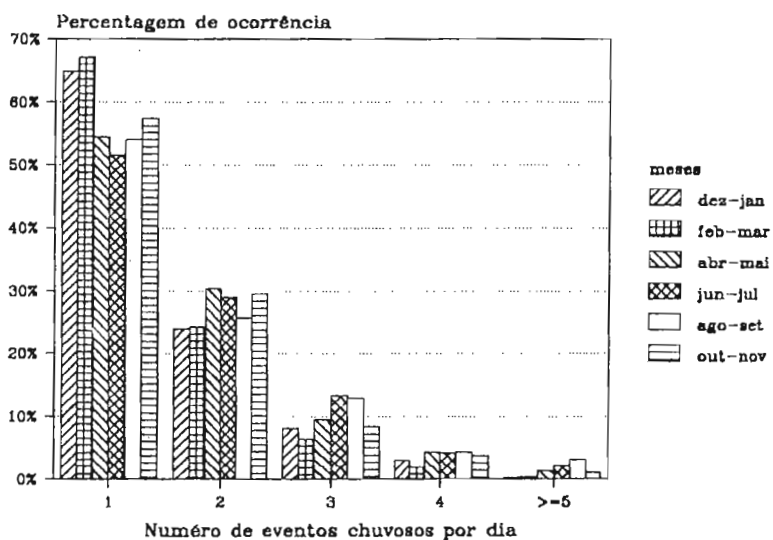


Figura 16 : Ijuí Ipagro RS. Número de eventos chuvosos por dia, função da estação.

Tabela 10 : Número de eventos chuvosos por dia, função da estação do ano (% de ocorrência)

número de eventos chuvosos	dez/jan	fev/mar	abr/mai	jun/jul	ago/set	out/nov
1	64,8%	67,1%	54,4%	51,5%	54,0%	57,4%
2	23,9%	24,3%	30,4%	29,0%	25,7%	29,5%
3	8,1%	6,4%	9,5%	13,3%	12,9%	8,4%
4	3,0%	1,9%	4,3%	4,2%	4,3%	3,7%
> = 5	0,2%	0,3%	1,3%	2,1%	3,1%	1,0%

Com base nestes resultados podem ser feitas as seguintes afirmações :

- Para cerca de 60% dos dias de chuva observa-se apenas um único evento chuvoso ; 25% com 2, respectivamente 10% para 3 eventos chuvosos e 5% para mais de 4 eventos chuvosos cotidianos.
- A proporção do número de dias de chuva com um único evento chuvoso é bem superior no caso de um total diário inferior a 10 mm, e, neste caso, praticamente nunca há mais de 3 eventos chuvosos. Ao contrário, se o total for superior a 10 mm, em mais da metade dos casos há pelo menos dois eventos chuvosos e a proporção com 3 ou mais eventos chuvosos está longe de ser desprezível.
- Observa-se, finalmente, que os eventos chuvosos únicos ocorrem mais frequentemente durante os meses de verão (dezembro a março), e os eventos chuvosos múltiplos durante os meses de inverno (junho a setembro).

Erosividade das chuvas

A partir das correlações obtidas entre as perdas em terras medidas sobre parcelas experimentais e diferentes características das chuvas, Wischmeier e Smith (1958) encontraram fator :

$$R = E I_{30}$$

que é o valor do produto da energia cinética de cada chuva unitária pela sua intensidade máxima em 30 minutos. A soma dos resultados de todas as chuvas de um mês dá a erosividade mensal, assim como a soma dos resultados de todas as chuvas de um ano dá a erosividade anual.

Adota-se o método descrito por Leprun (1981) para o cálculo desta grandeza R, cuja unidade é compatível com o sistema internacional.

Para o cálculo dos valores anuais e mensais foram usados 16 anos do posto de Ijuí Ipagro, com menos de 5% de lacuna (se houver lacuna, o resultado é corrigido proporcionalmente à duração da lacuna). A tabela 11 e a figura 17 apresentam valores característicos obtidos : a série é curta demais para calcular uma verdadeira distribuição estatística.

Como pode-se observar os meses de maior erosividade das chuvas são no verão, o que confirma os resultados obtidos anteriormente com as formas de chuva, devido a uma ocorrência de eventos convectivos somente nesta época do ano.

Tabela 11. Valores característicos anuais do índice de erosividade R (16 anos de observação em Ijuí Ipagro)

máximo 759	média 504	mediana 468	mínimo 258

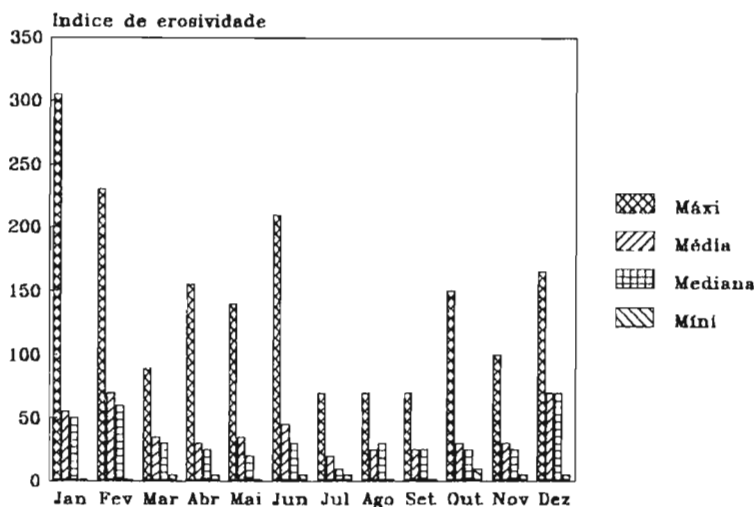


Figura .17 : Ijuí Ipagro RS. .Valores característicos mensais do índice de erosividade.

Uma estatística foi estabelecida a partir dos 500 maiores índices de erosividade para um único evento chuvoso. Observa-se uma distribuição log-normal ujos resultados característicos são apresentados na tabela 12.

Tabela 12 : Valor do índice de erosividade de um evento chuvoso para alguns períodos de retorno (16 anos de observação em Ijuí Ipagro.

Período de retorno	1 ano	2 anos	3 anos	5 anos	10 anos	20 anos
Índice de erosividade	62	83	95	111	132	153

Conclusão

O que deve ser lembrado a respeito da pluviometria regional

Para o ano :

A pluviometria média interanual é da ordem de 1 700 mm. Para um período de retorno de 10 anos é de cerca de 1 200 mm na hipótese seca e de 2 200 mm na hipótese úmida, respectivamente de cerca de 800 mm e 2 600 mm para um período de retorno de 100 anos.

Para o mês :

A distribuição mensal dos volumes de precipitações é muito regular. Em média é de cerca de 120 mm por mês com valores um pouco mais elevados (150 mm) em setembro e outubro.

Os casos extremos podem intervir em situações secas como em situações úmidas, mas na primavera e no outono, com valores decenais que podem ser inferiores a 30 mm por mês ou superiores a 270 mm por mês, respectivamente nulos ou superiores a 400 mm para os valores de período de retorno de cem anos.

Para o dia :

A altura de precipitação diária máxima passível de ocorrer uma vez ao ano é de 87 mm ; uma vez em dez anos, 129 mm ; uma vez em cem anos, 170 mm.

O que deve ser lembrado a respeito da pluviometria local

Quanto às intensidades :

A intensidade máxima em 10 minutos de período de retorno anual é de 90 mm/h e de período de retorno decenal de 125 mm/h.

Quanto à forma dos eventos chuvosos :

A forma média dos eventos chuvosos simples comporta um pico de intensidade que se situa no primeiro quarto do evento chuvoso. O corpo principal do evento chuvoso (intensidade superior a 20 mm/h) em geral não excede a 30 minutos.

Quanto ao número de eventos chuvosos por dia :

Em quase 2/3 dos casos há um único evento chuvoso por dia de chuva. Esta proporção passa a 3/4 se a precipitação total for inferior a 10 mm, mas é inferior a 1/2 se a precipitação total for superior a 10 mm. Finalmente, os eventos chuvosos únicos são mais frequentes no verão e os eventos chuvosos múltiplos mais frequentes no inverno.

Agradecimentos

Este artigo, inicialmente escrito em Francês, foi traduzido pela professora Hedy L. Hoffmann. Uma leitura crítica foi realizada pelo professor Carlos E. Tucci.

Este relatorio resulta dum trabalho feito com uma enorme quantidade de dados de observação. Uma parte importante da obtenção e processamento dos dados pluviográficos foi realizada graças a Jorge A. Lautert e Alexandre D.S. Wood, estagiários do IPH. Os dados pluviométricos foram fornecidos pelo 1º Distrito do DNAEE em Porto Alegre, pela CEEE, pelo DEPRC e pelo INEMET ; os diagramas de pluviografia foram emprestados pelo IPAGRO a partir das observações realizadas no Centro de Treinamento da Cotrijui.

Referências

- Borges A.L. de O., Bordas M. P., 1988. Choix de bassins représentatifs et expérimentaux pour l'étude de l'érosion sur le plateau basaltique sudaméricain. *Sediment Budgets (Proceedings of the Porto Alegre Symposium 1988)*. IAHS Publ. n°174, pp. 161-169.
- Brunet Moret Y., 1978. Recherche d'un test d'ajustement. Cah. ORSTOM, Sér. Hydrol., vol. XV, n°3, pp. 261-280.
- Cochonneau G., Hiez G., Séchet P., 1989. MVR - Progiciel d'automatisation de la Méthode du vecteur régional. Multigr. ORSTOM, Brasília.
- Crespo C.E.J., 1982. Regionalização de vazão maxima do Rio Grande do Sul e de Santa Catarina. Tese de mestrado IPIIG-UFRGS, Porto Alegre. 83 p. + 23 tabl. + 19 fig. + ann.
- DNAE/F., 1987. Inventário das estações pluviométricas. Brasília.
- Estèves M., 1990. Notice d'utilisation du POH126 version micro-ordinateur. La Gazette, ORSTOM, Laboratoire d'Hydrologie de Montpellier, n°10.
- IBGE. 1986. Levantamento de recursos naturais, volume 33. Folha SH.22 Porto Alegre et parte das folhas SH.21 Uruguaiana et SI.22 Lagoa Mirim. Projeto RadamBrasil. 792 p. + cartes.
- IPAGRO, 1989. Atlas agroclimático. Estado do Rio Grande do Sul. Vol. 3. mapa n°232.
- Hiez G., 1977. L'homogénéité des données pluviométriques. Cah. ORSTOM, sér. Hydrol., vol. XIV, n°2, 1977.
- Lebel T., Boyer J.F., 1989. DixLois : un ensemble de programmes Fortran 77 pour l'ajustement de lois statistiques et leur représentation graphique. Notice OVN1h du Laboratoire d'Hydrologie, #3, ORSTOM, Montpellier.
- Leprun J.C., 1981. A erosão, a conservação e o manejo do solo no Nordeste Brasileiro. Recursos de solos, 15, Sudene, Recife.
- Nimer E., 1989. Climatologia da Região Sul in Climatologia do Brasil. 2. ed. Rio de Janeiro, IBGE, pp. 195-264, ill.
- Ribstein P., 1983. Loi des Fuites. Cah. ORSTOM, sér. Hydrol., vol. XX, n°2
- Wischmeier W.H., Smith D.D., 1958. Rainfall energy and its relationship to soil loss. Trans. Amer. Geophys. Union, 39, pp. 285-291

Anexo

Método do vetor regional - Características dos postos

	Código Dnace	Nome	lat	long	X (km)	Y (km)	Méd. (mm)	núm obs.	orgão gest.	período de obs;
1	2752001	Rio Inhupaca	27°57'S	52°31'O	351,08	6.900,42	1709	25	CEEE	61/75
2	2752002	Bar. R. Passo F	27°33'S	52°44'O	327,42	6.939,33	1724	8	CEEE	62/79
3	2752005	Concordia	27°14'S	52°01'O	397,5	6.974,58	1786	18	DNAEE	58/80
4	2752006	Erebango	27°50'S	52°18'O	372,17	6.913,17	elim	35	DNAEE	44/80
5	2752007	Erechim	27°37'S	52°17'O	372,75	6.934,92	1852	16	DNAEE	58/75
6	2752008	Jose Bonifacio	27°41'S	52°48'O	321,42	6.925,67	1886	28	CEEE	58/85
7	2752009	Monte Alegre	27°35'S	52°28'O	354,25	6.937,33	1882	37	CEEE	49/85
8	2752010	Nonoai	27°21'S	52°46'O	323,08	6.959,17	1767	24	CEEE	62/85
9	2752011	Quatro Irmaos	27°49'S	52°26'O	358,75	6.914,17	1767	25	CEEE	61/85
10	2752012	Ronda Alta	27°47'S	52°48'O	321,92	6.915,67	1868	26	CEEE	60/85
11	2752013	Sarandi	27°56'S	52°55'O	311	6.900,08	1697	37	CEEE	49/85
12	2752014	Charrua	27°57'S	52°00'O	402,75	6.903	1770	23	CEEE	63/85
13	2752016	Chapeco	27°07'S	52°37'O	336,92	6.983,25	2002	10	INEMET	74/83
14	2753001	Bar. Joao Amado	27°45'S	53°33'O	246,75	6.915,25	1507	15	CEEE	59/73
15	2753002	Frederico Westp	27°21'S	53°24'O	259,75	6.956	1966	24	CEEE	62/85
16	2753003	Irai	27°11'S	53°14'O	275,58	6.973,5	1982	20	INEMET	37/83
17	2753004	Linha Cescon	27°48'S	53°00'O	302	6.913	1750	21	DNAEE	60/80
18	2753005	Palmeira Missoe	27°53'S	53°26'O	259,08	6.902,5	2002	28	INEMET	44/83
19	2753006	Palmitos	27°04'S	53°11'O	280	6.985,42	1932	21	DNAEE	60/80
20	2753007	Santo Augusto	27°51'S	53°46'O	225,58	6.904,17	1682	37	CEEE	49/85
21	2753008	Tenhente Portel	27°22'S	53°45'O	224,83	6.952,58	1855	24	CEEE	62/85
22	2753009	Tres Passos	27°27'S	53°35'O	241,92	6.945,08	1833	25	CEEE	61/85
23	2753010	Usina Guarita	27°36'S	53°54'O	211	6.928,5	1352	38	CEEE	41/84
24	2754001	Alto Uruguay	27°16'S	54°08'O	186	6.960,67	1358	31	DNAEE	50/80
25	2754002	Criciumal	27°30'S	54°06'O	190,5	6.937,5	1635	24	CEEE	62/85
26	2754003	Horizontina	27°38'S	54°18'O	171,17	6.923,17	1643	25	CEEE	61/85
27	2754004	Usina Sta Rosa	27°46'S	54°53'O	113,5	6.906,92	1640	33	CEEE	51/85
28	2754005	Santa Rosa	27°51'S	54°25'O	160,58	6.900,92	1522	17	INEMET	23/65
29	2754006	Santo Christo	27°49'S	54°40'O	135,42	6.903	1654	24	CEEE	61/85
30	2754007	Tres de Maio	27°47'S	54°14'O	178,58	6.908,5	1561	24	CEEE	61/85
31	2754008	Tuparandi	27°45'S	54°28'O	155,08	6.910,67	1700	23	CEEE	61/85
32	2852001	Ametista	28°15'S	52°24'O	364,25	6.871	1523	29	DEPRC	49/80
33	2852002	Armazem	28°50'S	52°31'O	355,5	6.812,08	1626	23	DEPRC	49/71
34	2852003	Arvorezinha	28°50'S	52°14'O	383,83	6.813,5	1708	30	DEPRC	49/79
35	2852004	Auler	28°48'S	52°22'O	370,33	6.816,17	1810	23	CEEE	63/85
36	2852005	Barr. Capigui	28°21'S	52°13'O	383,08	6.861,92	1688	29	CEEE	57/85
37	2852006	Carazinho	28°16'S	52°47'O	326	6.867,42	1650	30	DNAEE	42/75
38	2852007	Colonia Xadrez	28°07'S	52°39'O	338,58	6.883,08	1794	29	DNAEE	45/80
39	2852008	Colorado	28°32'S	52°59'O	307,33	6.839,75	1726	34	CEEE	45/85
40	2852009	Deposito	28°56'S	52°48'O	327,67	6.800,67	1644	23	CEEE	63/85
41	2852010	Engen. Englert	28°01'S	52°16'O	376,42	6.895	1849	15	CEEE	47/68
42	2852011	Ernestina	28°40'S	52°25'O	364,67	6.829,25	1591	30	DEPRC	49/78
43	2852012	Espumoso	28°43'S	52°50'O	323,25	6.822,17	1706	26	DEPRC	51/85
44	2852013	Fontoura Xavier	28°59'S	52°20'O	374,58	6.798	1699	21	DEPRC	53/74
45	2852014	Ilopolis	28°55'S	52°07'O	395,92	6.805,75	1816	38	CEEE	45/85
46	2852015	Lagoa Tres Cant	28°34'S	52°51'O	320,83	6.837,08	1785	26	CEEE	60/85
47	2852016	Marau	28°27'S	52°12'O	385,25	6.852	1736	41	CEEE	45/85
48	2852017	Mauricio Cardos	28°50'S	52°31'O	355,5	6.812,08	1664	28	DEPRC	53/80
49	2852018	Nao me Toque	28°06'S	52°50'O	320,17	6.883,83	1668	27	DEPRC	53/70
50	2852019	Pas. Bela Vista	28°45'S	52°59'O	308,42	6.818,08	1590	25	CEEE	60/84
51	2852020	Passo Fundo	28°16'S	52°24'O	364,33	6.869,33	1733	39	INEMET	39/83
52	2852021	Passo Fundo Us.	28°18'S	52°03'O	399,5	6.867,75	1565	19	DNAEE	43/61
53	2852022	Pontao	28°04'S	52°40'O	336,67	6.888	1681	26	CEEE	60/85
54	2852023	Ponte Jacui	28°36'S	52°36'O	346	6.835	1733	16	CEEE	70/85
55	2852024	Pulador	28°17'S	52°34'O	347,75	6.866,83	1658	23	CEEE	63/85
56	2852027	Tapejara	28°03'S	52°00'O	403,25	6.893	1869	15	DEPRC	49/66
57	2852028	Usina Capigui	28°23'S	52°15'O	379,92	6.858,42	1689	41	CEEE	43/85

Código Dnacec	Nome	lat	long	X (km)	Y (km)	Méd. (mm)	nº obs.	orgão gest.	período de obs.	
58	2852029	Usina Colorado	28°38'S	52°55'O	314,5	6.830,08	1634	27	CEEE	59/85
59	2852030	Usina Ernestina	28°33'S	52°33'O	350,75	6.840,25	1672	18	CEEE	67/84
60	2852031	Vila Tres Passo	28°28'S	52°22'O	368,67	6.849,5	1643	26	CEEE	60/85
61	2852032	Volta Alegre	28°49'S	52°42'O	337,08	6.812,83	1680	26	CEEE	60/85
62	2852036	Espumoso	28°43'S	52°51'O	321,58	6.822,08	1695	27	CEEE	51/85
63	2852037	Despraiado	28°43'S	52°33'O	351,58	6.823,58	1833	13	CEEE	73/85
64	2852038	Pessegeiro	28°24'S	52°32'O	351,67	6.855,33	1674	13	CEEE	73/85
65	2852039	Coxilha da Taip	28°50'S	52°31'O	355,5	6.812,08	2077	9	DEPRC	71/79
66	2852040	Carazinho	28°17'S	52°47'O	326,08	6.865,75	1671	21	DEPRC	53/86
67	2852045	Soledade	28°50'S	52°26'O	363,83	6.812,5	élim	14	DEPRC	31/73
68	2853001	Ajuricaba	28°14'S	53°46'O	227,5	6.865,83	1711	25	CEEE	61/85
69	2853002	Belisario	28°29'S	53°27'O	260,42	6.842,42	1684	20	CEEE	66/85
70	2853003	Conceicao	28°31'S	53°53'O	217,25	6.836,92	1590	22	DNAEE	59/80
71	2853004	Condor	28°12'S	53°28'O	257,33	6.870,67	1909	16	CEEE	61/76
72	2853005	Cruz Alta	28°38'S	53°36'O	246,17	6.826,67	1743	58	DNAEE	12/85
73	2853006	Ijui	28°22'S	53°55'O	213,17	6.851,75	1642	32	DNAEE	44/75
74	2853007	Passo Divisa	28°39'S	53°21'O	271,25	6.826,25	1659	23	CEEE	61/85
75	2853008	Passo Lagoao	28°44'S	53°09'O	291,67	6.818,92	1610	43	CEEE	42/85
76	2853009	Passo do Novo	28°52'S	53°09'O	292,33	6.805,58	1898	10	CEEE	60/69
77	2853010	Passo Faxinal	28°16'S	53°51'O	219,33	6.862,08	1646	24	DNAEE	57/80
78	2853011	Pt St Antonio	28°33'S	53°10'O	289,08	6.837,17	1690	28	CEEE	58/85
79	2853012	Saldanha Marinh	28°23'S	53°05'O	296,58	6.854,25	1671	26	CEEE	60/85
80	2853014	Sta Clara Ingai	28°41'S	53°17'O	278,08	6.823,25	1614	36	DNAEE	45/80
81	2853015	Tres Capoes	28°49'S	53°30'O	257,08	6.808,83	1625	25	CEEE	61/85
82	2853016	Usina Ajuricaba	28°16'S	53°48'O	224,33	6.862,33	1658	16	CEEE	70/85
83	2853017	Usina Andorinha	28°24'S	53°48'O	225	6.849	1528	23	CEEE	59/83
84	2853018	Mesquita Severo	28°16'S	53°07'O	292,67	6.865,75	1543	12	CEEE	73/85
85	2853019	Esquina Gaucha	28°51'S	53°13'O	285,58	6.806,92	1655	13	CEEE	73/85
86	2853020	Passo Alemaes	28°50'S	53°36'O	247,17	6.806,67	1529	12	CEEE	73/85
87	2853025	Ijui Ipagro	28°23'S	53°55'O	213,25	6.850,08	1578	8	IPAGRO	64/71
88	2854002	Cerro Largo	28°08'S	54°44'O	130,33	6.871	1770	23	CEEE	61/84
89	2854009	Girua	28°01'S	54°21'O	168,08	6.884,58	élim	36	DNAEE	45/80
90	2854004	Guarani Mis.	28°08'S	54°33'O	148,67	6.871,92	1674	23	CEEE	62/85
91	2854005	Pas. Major Zefe	28°44'S	54°37'O	145	6.811,58	1563	23	DNAEE	58/80
92	2854006	Passo Viola	28°13'S	54°36'O	144,08	6.863,33	1714	18	DNAEE	60/80
93	2854007	Santo Angelo	28°18'S	54°16'O	177,83	6.856,67	1653	27	INEMET	15/83
94	2854009	Sao Miguel Mis.	28°33'S	54°33'O	150,75	6.830,25	élim	41	CEEE	45/85
95	2854010	Us. Ijuizinho	28°26'S	54°17'O	176,83	6.843,25	1705	27	CEEE	58/84
96	2854011	Sao Luis Gonzag	28°24'S	54°58'O	108,33	6.843,17	1712	22	INEMET	59/83
97	2952002	Barros Cassal	29°05'S	52°34'O	351,75	6.786,83	1741	29	DEPRC	49/78
98	2952003	Botucarai	29°43'S	52°54'O	321,58	6.721,83	1648	20	DNAEE	66/85
99	2952004	Candelaria	29°40'S	52°47'O	333	6.727,42	1641	28	DNAEE	51/78
100	2952005	Erveiras	29°27'S	52°26'O	366,92	6.750,83	1848	26	DEPRC	54/79
101	2952006	Marques de Souz	29°24'S	52°08'O	396,67	6.757,33	1523	30	DEPRC	49/79
102	2952007	Nova Brescia	29°40'S	52°01'O	409,67	6.731,25	1480	19	DEPRC	60/80.
103	2952010	Rio Pardo	29°59'S	52°22'O	376,25	6.697,83	1357	28	DNAEE	44/75
104	2952011	Rio Pardo	29°58'S	52°22'O	376,17	6.699,5	1255	27	DEPRC	52/78
105	2952012	Sta Cruz do Sul	29°43'S	52°26'O	368,25	6.724,17	1495	28	INEMET	15/67
106	2952013	Sinimbu	29°43'S	52°25'O	369,92	6.724,25	1665	25	DEPRC	54/78
107	2952014	Venancio Aires	29°40'S	52°08'O	398	6.730,67	1474	25	DEPRC	53/78
108	2952023	Boa Vista	29°06'S	52°35'O	350,17	6.785,08	1918	9	DEPRC	71/79
109	2952024	Quatro Leguas	29°06'S	52°35'O	350,17	6.785,08	1661	12	DEPRC	71/82
110	2952025	Tunas	29°06'S	52°57'O	313,5	6.783,25	1581	13	CEEE	73/85
111	2952027	Sta Clara do Su	29°30'S	52°07'O	398,83	6.747,42	1658	9	DEPRC	71/79
112	2952029°	Pouso Novo	29°10'S	52°12'O	388,83	6.780,33	1713	28	DEPRC	50/78
113	2953002	Agudo	29°39'S	53°13'O	289,58	6.726,92	1597	26	DEPRC	55/80
114	2953003	Arroio do Tigre	29°21'S	53°03'O	304,75	6.757,75	1562	26	DEPRC	55/80
115	2953006	Salto Grande	29°04'S	53°12'O	288,33	6.785,33	1563	29	CEEE	50/85
116	2953007	Coloninha	29°11'S	53°00'O	308,92	6.774,67	1716	15	CEEE	70/84
117	2953008	Dona Francisca	29°37'S	53°21'O	276,08	6.729,58	1636	34	DNAEE	44/60
118	2953009	Fatinal do Sotu	29°35'S	53°26'O	267,58	6.732,5	1398	27	DEPRC	54/80
119	2953010	Itauba	29°15'S	53°14'O	285,92	6.766,83	1574	14	CEEE	70/85
120	2953012	Passo das Tropa	29°50'S	53°29'O	263,83	6.707,25	1416	22	DEPRC	58/79
121	2953015	Restinga Seca	29°50'S	53°54'O	222,17	6.705,17	1368	25	DEPRC	52/76
122	2953016	Rincao da Porta	29°44'S	53°14'O	288,33	6.718,5	1499	26	DEPRC	52/78

	Código Dnace	Nome	lat	long	X (km)	Y (km)	Méd. (mm)	núm obs.	orgão gest.	período de obs:
123	2953017	Santa Maria	29° 42'S	53° 42'O	241,5	6.719,5	1549	72	INEMET	14/85
124	2953018	Sao Marcos	29° 41'S	53° 48'O	231,42	6.720,67	1417	27	DEPRC	54/80
125	2953019	Silveira Martin	29° 41'S	53° 48'O	231,42	6.720,67	1777	21	DEPRC	58/78
126	2953020	Sobradinho	29° 34'S	53° 02'O	307,5	6.736,17	1730	28	DEPRC	51/78
127	2953021	Toniolo	29° 42'S	53° 53'O	223,17	6.718,58	1476	11	DEPRC	54/76
128	2953022	Usina Ivai	29° 07'S	53° 21'O	273,58	6.779,58	1631	38	CEEE	45/85
129	2953023	Venda	29° 00'S	53° 38'O	244,67	6.789,83	1607	15	CEEE	70/85
130	2953025	Volta Grande	29° 26'S	53° 17'O	281,83	6.748,25	1606	16	CEEE	70/85
131	2953026	Passo Real	29° 01'S	53° 11'O	289,75	6.790,42	1636	15	CEEE	69/85
132	2953028	Sao Jose da Por	29° 41'S	53° 49'O	229,75	6.720,58	1263	23	DEPRC	55/78
134	2954001	Cacequi	29° 54'S	54° 49'O	130,83	6.693,92	1452	42	DNAEE	44/85
135	2954002	Caranguejo	29° 48'S	54° 02'O	208,67	6.707,83	1370	23	DEPRC	58/80
136	2954004	Ernesto Alves	29° 22'S	54° 43'O	138,17	6.747,75	1668	26	DNAEE	60/85
137	2954005	Furnas do 'Segre	29° 20'S	54° 33'O	154,67	6.751,92	1694	19	DNAEE	67/85
138	2954006	General Vargas	29° 11'S	54° 40'O	142,25	6.766,33	1420	21	DEPRC	58/79
139	2954007	Jaguari	29° 30'S	54° 42'O	140,5	6.734,5	1663	27	DNAEE	58/85
140	2954009	Pau Fincado	29° 20'S	54° 19'O	178	6.753,08	1465	26	DEPRC	55/80
141	2954010	Ponte Toropi	29° 40'S	54° 28'O	164,67	6.719	1475	26	DNAEE	57/82
142	2954011	Santiago	29° 11'S	54° 52'O	122,25	6.765,33	1709	13	INEMET	45/59
143	2954013	Sao Lucas	29° 37'S	54° 10'O	194,42	6.725,5	1449	15	DEPRC	57/71
144	2954015	Cacequi	29° 53'S	54° 15'O	187,42	6.698,42	1413	12	DEPRC	58/70

22. M.A. Stringuini (1989): Contribution methodologique a la stratégie decisionelle pour les etudes d'impact sur l'environnement: a propos du cas des bassins hydrographiques du Brésil.
23. A.M. Oestreich (1990): Uma avaliação da eficiência de lagoas de estabilização implantadas no estado do Rio Grande do Sul.
24. P. Chevallier (1991): As precipitações na região de Crua Alta e Ijuí - RS - Brasil.
25. Analysis of potential climate changes in the Uruguay river basin (1991).

Instituto de Pesquisas Hidráulicas da UFRGS

Av. Bento Gonçalves, 9.500

Caixa Postal 530

90001 Porto Alegre, RS. Brasil

